

УДК 553.41.06+553.6606(477.75-14)

Шнюков Е.Ф.,<sup>1</sup> Лысенко В.И.,<sup>2</sup> Кутний В.А.,<sup>1</sup> Шнюкова Е.Е.<sup>3</sup>

## ЗОЛОТО-СЕРЕБРЯНАЯ И СУЛЬФИДНАЯ МИНЕРАЛИЗАЦИЯ В ПОРОДАХ ГЕРАКЛЕЙСКОГО ПЛАТО (КРЫМ)

*Изучена золото-серебряная и сульфидная минерализация некоторых рудопроявлений Гераклейского плато (юго-западный Горный Крым). Выявлен ряд новых для района минералов и детально изучен их химизм. Исследованные рудопроявления представляют собой средне- и низкотемпературные образования.*

В последние годы внимание геологической общественности привлекли сообщения о золотоносности Гераклейского плато. Они нашли свое отражение в газетах. Выдвигались, в частности, даже идеи о существовании крупных месторождений золота близ Севастополя. К сожалению, эти данные пока не нашли подтверждения.

В этой связи представляется полезным систематизация существующих материалов и создание реальной картины минерального состава рудопроявлений этого района.

По данным П.Д.Давыдова [6], на берегу моря у Георгиевского монастыря неоднократно "...попадались округленные волнами куски кварца с ясными признаками прожилок золота. Это побудило автора расследовать, не содержится ли этот металл в колчеданах прилегающей местности, особенно в так называемом золотом песке, добываемом монахами у мыса Фиолент и сбываемом верующим поклонникам их обители". Золото П.Д.Давыдову в колчедане (пирите) обнаружить не удалось — его лабораторные возможности были ограничены. Впрочем, он был не первый неудачник: последний крымский хан Шагин-Гирей, пораженный блеском кристаллов пирита, также безнадежно пытался получить из него золото.

Первые сведения о сульфидной минерализации в породах мыса Фиолент опубликованы С.П.Поповым [13] и П.А.Двойченко [7]. Были описаны сульфиды железа, свинца, цинка, меди и частично — продукты их изменения. В более поздней работе С.П.Попова [7] упоминаний о сульфидной минерализации на Гераклейском плато почему-то нет. Возможно, это связано с закрытием этого района военными.

Новые данные о сульфидной минерализации были получены только в 1981 г. Л.С.Борисенко и др. [4], когда проводилась геологическая съемка для микросейсмического районирования. В процессе этих работ были изучены Фиолентовское и Монастырское полиметаллические проявления.

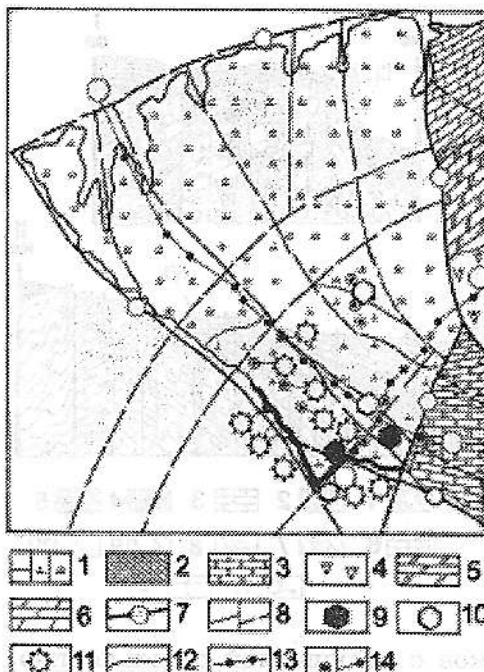
<sup>1</sup> ©Шнюков Е.Ф., Лысенко В.И., <sup>2</sup> Кутний В.А.,<sup>1</sup> Шнюкова Е.Е.<sup>3</sup>

<sup>1</sup> – ОМГОР НАН Украины, г. Киев

<sup>2</sup> – ООО «Ниагара», г. Севастополь

<sup>3</sup> – ИГМР НАН Украины, г. Киев

Рис. 1 Схематическая геологическая карта Гераклейской вулканотектонической структуры (масштаб 1 : 100 000). Составлена В.И.Лысенко. Условные обозначения: 1 — лавы с прослойями туфов базальтов, андезитов и риалитов карадагской свиты (а — обнажения обрывов; б — вскрытые под отложениями неогена; в — под отложениями неогена и верхнего альба); 2 — аргиллиты айвасильской свиты; 3 — мраморовидные известняки верхнего титона; 4 — вулканогенно-терригенные отложения верхнего альба (вскрыты под отложениями неогена); 5 — мергели верхнего мела (вскрыты под отложениями неогена); 6 — мергели палеогена (вскрыты под отложениями неогена); 7 — зоны глубинных разрывных нарушений (1 — Сардинакинская; 2 — Мраморной балки; 3 — Херсонесская; 4 — Кая-Баш; 5 — Севастопльская); 8 — внутриблочные разрывные нарушения (а — достоверные; б — предполагаемые); 9 — предполагаемые центры юрского извержения; 10 — проявления полиметаллического оруденения (цифры в кружках 1 — Фиолентовское; 2 — Монастырское; 3 — Гераклейское); 11 — точки рудной минерализации (4 — Аметистовое; 5 — Лермонтовское; 6 — Виноградное; 7 — Георгиевское; 8 — Утес; 9 — Успех; 10 — Милосердие; 11 — Бастион; 12 — Троллейбусник; 13 — Афганец); 12 — стратиграфические границы; 13 — линии геологических разрезов; 14 — буровые скважины (а — с рудной минерализацией; б — без рудной минерализации).



В 1984 г. при геологическом картировании Юго-Западного Крыма С.В.Пивоваровым и др. [12] найдено Гераклейское рудопроявление, в котором было обнаружено золото (электрум). Химический анализ не приведен.

В последние годы после значительного, почти десятилетнего перерыва на Гераклейском плато было пробурено большое количество скважин для водоснабжения дачных участков. Некоторые из них вскрыли полиметаллическую минерализацию. Эти работы и проведенное В.И.Лысенко детальное картирование эффузивов мыса Фиолент позволили открыть новые точки сульфидной минерализации. Все они находятся в пределах Гераклейской вулкано-тектонической структуры (ГВТС), занимающей западную часть Гераклейского полуострова (рис. 1).

В геологическом строении ГВТС принимают участие отложения юрской, меловой и неогеновых систем.

Юрские отложения представлены лавами, лавобрекчиями, туфами, многочисленными дайками, штоками, некками, пластовыми телами. В береговых обрывах мыса Фиолент вулканические породы выходят на поверхность, а на участке площадью более  $40 \text{ км}^2$  они вскрыты скважинами под неогеновыми и альбскими отложениями. По мнению производственников, в структурном отношении юрские породы слагают вулканическую постройку с несколькими центрами извержения. Вулкан неоднократно прекращал и возобновлял свою деятельность, которая на первом этапе происходила в подводных условиях формирования лавовых пото-

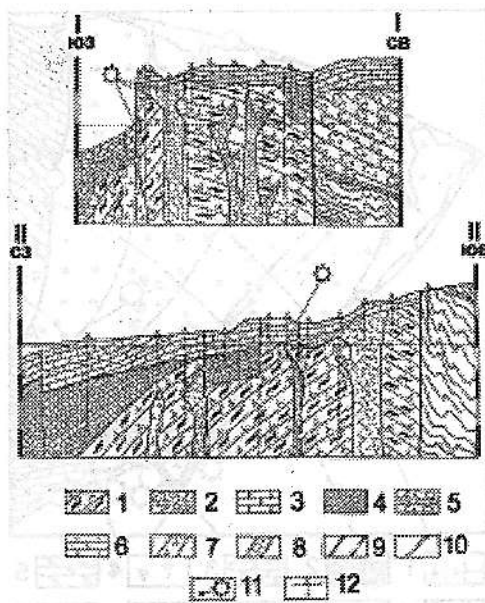


Рис. 2. Геологические разрезы по линиям: а-I-I; б-II-II (см. рис. 1) масштаб горизонтальный 1 : 100000; вертикальный — 1:10 000. Условные обозначения: 1 — лавы и туфы карадагской свиты; 2 — аргиллиты ай-васильской свиты; 3 — известняки и конгломераты верхнего титона; 4 — алевролиты, песчаники и конгломераты нижнего альба; 5 — вулканогенно-терригенные отложения верхнего альба; 6 — терригенно-карбонатные отложения неогена; 7 — дайки и субвулканические тела андезитов, базальтов, диабазов и пикритов; 8 — дайки и субвулканические тела дацитов, риолитов и трахириолитов; 9 — разрывные нарушения (а — установленные; б — предполагаемые); 10 — стратиграфические границы; 11 — новые точки рудной минерализации; 12 — буровые скважины.

ков с подушечной отдельностью. Редко в обрывах встречаются потоки волнистой и глыбовой лавы кислого состава, указывающие на наземный характер извержения и сложную геологическую историю дальнейшего формирования вулкана.

По результатам глубинного картирования вулканический разрез условно можно разделить на три толщи: нижнюю, среднюю и верхнюю. Их строение осложнено многочисленными жильными, экструзивными и субвулканическими телами. Нижняя характеризуется накоплением лав на триевых базальтов (спилитов) с подчиненными прослоями туфов основного состава и слагает основное поле вулканической постройки: на ее фоне пятнами выделяются отложения средней и верхней толщ.

Средняя связана с накоплением кислых туфов, волнистой и глыбовой лавы, имеющих состав от плагиориолитов и риолитов до андезито-дацитов. Вероятно, ими были выполнены эрозионные впадины в среднеюрском рельфе вулкана. По результатам бурения их мощность в отдельных местах достигает сотни метров.

Верхняя туфовая толща сохранилась фрагментарно в центральной части и в районе разлома Мраморной балки. В ней преобладают литокластические и кристаллокластические туфы базальтового и андезибазальтового состава.

Вулканогенная толща ГВТС не вскрыта бурением на полную мощность, и подстилающие породы достоверно не установлены. Её предположительный возраст — от верхнего байоса до нижнего бата. В оврагах Мраморной балки в глинисто-сланцевых отложениях ай-васильской свиты (средний бат — ранний келовей) встречаются линзы крупноглыбовых терригенных отложений, содержащих глыбы, валуны и гальку спилитов, диабазов, кварцевых порфиров и риолитов, что является доказательством формирования свиты за счет размыва эффузивов Фиолента. Даный факт

может служить решающим обстоятельством определения верхней возрастной границы вулканической толщи как средний бат — ранний келловей. Единственное калий-argonовое датирование по породе, выполненное для калийсодержащего плагиориодита в ИГМР НАНУ, определило абсолютный возраст 174 млн. лет [17]. Помимо вулканических пород, в строении ГВТС принимают участие базит-ультрабазитовые интрузии, сопровождаемые гипабиссальными телами основного-среднего состава и полукругом оконтуривающие вулканиты. Их возраст остается загадкой.

В северной части Гераклейского полуострова вулканиты перекрыты терригенными отложениями нижнего альба, которые представлены конгломератами, гравелитами, песчаниками и аргиллитами; их образование связано с разрушением пород вулкана экзогенными процессами. Терригенно-карбонатные отложения неогеновой системы на Гераклейском полуострове повсеместно перекрывают эфузивные отложения и породы нижнего альба.

На тектоническую природу ГВТС в настоящее время нет единого взгляда. В.В.Юдин считает, что Фиолентовский массив является частью присутурного меланжа, состоящего из крупных глыб кластолитов различной ориентировки с зонами рассланцевания и брекчирования [18]. Л.С.Борисенко [3, 4], А.Н.Шаталов [14, 15] и многие другие исследователи полагают, что эта слоистая вулканическая структура приурочена к зоне сочленения Горного Крыма со Скифской плитой. Она имеет блоковое строение, осложненное тектоникой, многочисленными дайками и субвулканическими телами. Херсонесский разлом делит Гераклейскую ВТС на две части: континентальную и морскую [1, 2, 14]. Континентальный блок хорошо картируется по результатам бурения глубоких скважин и данным геофизических исследований. Его юго-восточной границей является зона разлома Мраморной балки, восточной — Сарандинакинской балки, северной — Севастопольский разлом.

В настоящее время поверхностное изучение ГТВС возможно в обнажениях обрывов Фиолента, которые приурочены к зонам разломов Каля-Баш и Херсонесского. При их детальном исследовании картируются многочисленные сбросы и сбросо-сдвиги, которые часто сопровождаются дайками и субвулканическими телами. Это множество мелких разрывов невозможно вынести на карту. Они представлены сбросами и сбросо-сдвигами, которые ориентированы на плоскости под углом 10-20° к оси простирации зон региональных разломов и часто контролируют зоны рудной минерализации. Возраст разлома исчисляется от юры до нашего времени, что подтверждается современной сейсмичностью и оползневыми процессами.

Необходимо отметить, что зоны разломов Сарандинакинского и Мраморной балки, отделяющие вулканиты Фиолента от Горного Крыма, имеют сложное строение. Они являются границами, где Гераклейская ВТС испытывала то поднятие, то опускание. Подвижки в этих зонах достигали несколько сот метров и часто были знакопеременными, что подтверждается историей геологического развития региона по данным бурения.

Центральную часть ГВТС нарушения северо-западного и широтного профиля разбивают на ряд мелких блоков. По морфологии это сбросы и сбросо-сдвиги с амплитудой смещения от десяти до ста метров. Время их заложения — средняя юра, а периоды активизации альб — неоген. Зоны разломов часто сопровождаются дайками основных и кислых пород, а также карбонат-кварцевыми прожилками брекчевой текстуры с рудной минерализацией.

Картирование выходов лав спилитов и туфов в обрывах Фиолента не подтверждает вывод В.В.Юдина об их хаотическом расположении в пространстве. Для вулканогенной толщи пород характерно пластовое строение, а между отдельными пачками туфов и лавовых потоков наблюдаются "стратиграфические" контакты. Изучение особенностей залегания лав спилитов на побережье показало, что они имеют северо-западное, западное и юго-западное падения, а их центр извержения находился между Фиолентом и Георгиевским монастырем.

Западнее Херсонесского разлома ГВТС продолжается в море, где ее площадь составляет около 80 км<sup>2</sup>. По данным гравиметрической и магнитной разведок, морской фрагмент вулканической структуры имеет блоковое строение и залегает в интервале глубин 0,3-0,7 км от дна, нижняя кромка магнитных возмущающих вулканогенных пород залегает на глубинах 1-2 км [1, 2].

Из-за слабой изученности не совсем однозначно определяется петрографическая специализация Гераклейской ВТС. На первых этапах изучения её связывали со спилито-кератофировой и спилит-диабазовой формациями, а при проведении геологического глубинного картирования её вулканизм отнесли к липарит-базальтовой формации. Однако наличие интрузивных основных — ультраосновных пород не позволяет рассматривать ГВТС только как вулкан, пусть и сложный [17]. Позиция преобладающих спилитов (базальтов и андезибазальтов) ясна, им родственны по петрографии и химизму дайковые диабазы. То же касается пластовых кислых пород, представленных плагиориолитами и плагиориодакитами. А вот переслаивание последних с высококалиевыми риолитами, а также появление высокомагнезиальных плагиориодакитов и субщелочных оливиновых базальтов в сочетании с альбитофирами требует дополнительного изучения. Андезиты в ГВТС практически отсутствуют.

ГВТС перекрыта с поверхности породами неогена и нижнего мела, поэтому её картирование основывается на относительно редких точках бурения и обнажениях берегового обрыва Фиолента, где преобладают лавы и туфы натриевых базальтов. Надо учитывать, что значительная часть вулкана подверглась денудации экзогенными процессами за промежуток времени от средней юры до неогена. Анализ обломочного материала айвасильской свиты и базальных конгломератов нижней части неогена позволяют утверждать, что их образование связано с разрушением дацитов, риолитов, кварцевых порфиров и трахириолитов, которые имели в то время значительное распространение на поверхности вулканической структуры.

Общее количество рудопроявлений и точек минерализации, обнаруженных на Гераклейской вулкано-тектонической структуре, достигает 13. Надо полагать, масштабы оруденения гораздо шире и в будущем число рудопроявления будет увеличено.

Минералогически они довольно однообразны, в описаниях предшествующих исследователей почти повсеместно упоминаются галенит, сфalerит, халькопирит, пирит. В Гераклейском рудопроявлении установлен электрум [12]. Из нерудных, кроме обычного кварца и карбонатов, — аметистовидный кварц, халцедон, гидрослюды, в одном случае (Лермонтовское рудопроявление) эпидот. Описаны некоторые вторичные минералы зоны окисления (табл. 1).

Нами изучены руды, измененные окорудные породы из обнажений в средней части м. Фиолент (обр. Л-41, Л-42, Л-44, Л-45); в бухте Аметистовая к югу от грота Дианы (Л-43); на спуске к пляжу Каравелла (Л-46, Л-47, Л-48).

По данным химических, пробирных и золотоспектрометрических анализов пород Гераклейского и других проявлений выявлено, что в спилитах содержание меди от 0,007 до 0,108%, цинка — 0,014-0,420%, свинца — 0,022-0,730%. Содержание золота — от 0,015 до 0,5 г/т, серебра — до 33,7 г/т. В дацитах больше меди — от 0,163 до 1,46%, цинка — 0,25-1,40%, свинца — 0,53-1,127%. Золота от 0,4 до 1,72 г/т. По серебру данных нет.

Анализ штуфных проб показал содержание золота — от 8 до 150 г/т.

Визуально руды представляют собой зоны кварцевого прожилкования в спилитах с сульфидной минерализацией (Cu, Fe, Zn, Pb), зоны кварц-кальцитового прожилкования с сульфидной минерализацией в коре выветривания (Cu, Fe, Zn, Pb), зоны кварц-кальцитового прожилкования в штоке андезито-дацитов (мыс Фиолент) с сульфидной минерализацией (Cu, Pb, Zn, Fe), зоны прожилкования в спилите (халцедон+кальцит+кварц) с богатой сульфидной минерализацией (жильная зона в 300 м к северу от м. Фиолент), зоны прожилкования в спилитах (кальцит+кварц) с сульфидной минерализацией (р-н пляжа Каравелла). Здесь отмечены прожилки аметистовидного кварца, зоны прожилкования по спилитам (кальцит+кварц) с сульфидной минерализацией (Fe, Cu, Zn, Pb) и линзы коричневого и серого халцедона.

Петрографическое изучение руд свидетельствует, что породы претерпели значительное постмагматическое воздействие: брекчирование, окварцевание, карбонатизацию, гидротермальную переработку. Структура неоднородная, состоит из различных фрагментов. Первичная магматическая порода сохранилась в виде участков размером 2-3 мм с неровными краями, структура этих участков напоминает ойттовую, однако темно-цветные минералы отсутствуют, интерстиции между длинными (0,1-0,2 мм) тонкими лейстами плагиоклаза занимает кварц с мелким рудным крапом. В некоторых участках магматической породы отмечаются цепочечные выделения более крупных кристаллов рудного минерала — скопее всего, пирита. Иногда наблюдаются более крупные и широкие, чем

**Таблица 1.**  
**Сульфидные проявления и точки минерализации ГВГС. По литературным данным и наблюдениям В.И.Лысенко.**

Номер капитала	Название местополо- жения проявления	Размер оруденения	Краткое описание морфологии	Вмещающие породы	Околорудные изменения	Описание сульфидной минерализации	Номер пробы	Данные хим. анализов ру- гу	
								9	10
1	2	3	4	5	6	7	8	Л-41 Л-42 Л-44 Ф-1 Л-245	Содержание Cu, Pb, Zn от 0,1% до 2% Ag – 2–150 г/т
1	Фиолентовское	В 200 м к СВ от м. Фиолент, на склоне в интервале 20– 70 м до берега моря	Жилья линзо- видного стро- ения от 2 до 40 см. протя- женность сру- жения больше 100 м. Падение вертикальное, в верхней части встречаются оперюющие трещины.	Лавовая толща натриевых базальтов и субвуоканическ- ий пекк андезитового состава м. Фиолент	Освещение пород вокруг жил 3–8 м. Оксидование, гидротермализация , карбоанализация и пиритизация	Зоны карбонатно- кварцевого прожил- кования в нат- риевых базальтах и андезитах. С цент- ральной жилой связаны более мо- лодые пострудные подвижки. Структура жиль- ного материала друговая, пятни- стая, местами коломорфная. Сфалерит, ганенит, пирит, халькопирит.			
2	Монастырское	В 7 км с-з г. Балаклава и в 2,3 км с-в Фиолентов- ского рудопро- явления	Общая струк- турно-геол. позиция ана- логична Фиоле- нтовскому	Серия ближенных даек кислого состава – андезито- дацитов, дацитов, фельзитов.	Оруденение локализовано в сильно изме- ненных гидро- термальными и гипергенными процессами. Наблюд. сери- тизаций, ка- линитизация, лимонитизация.	Cu – 0,02- 0,04% Pb – 0,01- 0,02% Zn – 0,003- 0,188% Au – 0,1 г/т Ag – 8,0 г/т			

1	2	3	4	5	6	7	8	9	10
3	Гераклейское	В 2,0 км к западу от г. Севастополь и в 5 км к северу от Фиолентовского участка селевого рудопроявления	Общая структ. геол. позиция аналогична Фиолентовскому и Монастырскому рудопроявлению	В геол. строении принимает участие мощная пачка кислых туфов второй стадии вулканизма (до 120 м), выполняющая эрозионно-tektonическую котловину в диабазоспилитах первой стадии.	Оруденение локализовано в зонах симметричных дробления жильных альбитизированных андезито-дацитовых, дацитов и липарито-дацитовых.	Сульфидная минерализация пирита, халькопирита, галенита, сфалерита.	Cu – 0,009-0,11% Pb – 0,026-0,2% Zn – 0,019-0,15% Au – от следов до 0,05 г/т Ag – от следов до 2,0 г/т	Cu – 0,009-0,11% Pb – 0,026-0,2% Zn – 0,019-0,15% Au – от следов до 0,05 г/т Ag – от следов до 2,0 г/т	
4	Аметистовое	В 1 км к с-з от м. Фиолент в морском обрыве	По горизонтали карбонатно-кварцевых жил вертикали 30-60 м., мощностью от 1 до 10 см, в обрывах	Серия карбонатно-кварцевых базальтов и литокластические туфы верхней толщи.	Нижняя толща натриевых базальтов и литокластические туфы верхней толщи.	Около жил зоны осветления мощностью около метра.	Аметистовидный кварц, сульфидная вкрашиванность галенита и халькопирита.	Л-43 Л-45 Л281/1 Л281/2 Л214/1 Л214/4	Су, Zn, Pb, содержание до 1% Ag – от 1 до 25 г/т
5	Лермонтовское	В пляжных уступах между м. Лермонтова и Виноградным	Жилы и жильные линзовидные тела в текtonических зонах протяженностью по простиранию 15-20 м, по вертикали 10 м. Найдено пять жил, которые протягиваются по простиранию на 15-20 м, по вертикали 10 м	Карбонатно-кварцевые жилы с аметистовой и сульфидной минерализацией	Лавы пегматовых базальтов нижней толщи. Линзовидные жилы пегматита текtonической зоне	Осветленные породы, гидрослюдизит, сульфидные окварцевание, в северной жиле эпидотизация	Халицедон + карбонат, кварц, галенит, пирит, сфалерит, халькопирит	Л-46 Л-47 Л-48 Л-280 Л- 300/1-300/3	Содержание Zn, Cu, Pb до 1,5-6,5 г/т, As – 63 г/т

1	2	3	4	5	6	7	8	9	10
6	Виноградное	Зона кварцевого прожилкования в массиве освященных кислых туфов (ладакиты и гиоколиты)	Протяженность зоны кварцевого прожилкования около 100 м, по простиранию – 500 м, размах по вертикали – 20 м	Зоны освещенности с кварцевыми прожилками мощностью 1-5 мм	Кислые туфы средней толщины (липарит-дацитового состава). Зоны прожилкования приворочены к тектоническим зонам	Около кварцевых прожилок окварцовывание и пиритизация пород	В кварцевых прожилках – пирит, сфалерит, галенит	Л-272 Л-273	Zn, Cu, Pb от 0,5-15 г/т, Ag 1,0-6,5 г/т, As – 63 г/т
7	Георгievское	В береговом обрыве в 600 м к северо-востоку от М. Фиолент	Пирит, кварцевые метасоматиты по андезитам и лавам спилитов с многочисленными кварцевыми прожилками с сульфидной минерализацией	Протяженность по простиранию 200-300 м, по вертикали – 50-60 м. Прожилки мощностью 1-4 мм	Лавы спилитов и некки андезитов	Интенсивное окварцовывание, серитизация и пиритизация породы	Кварцевые прожилки, выполненные пиритом, халькопиритом и арсенопиритом. В зоне окисления встречаются зеленые сульфиды меди	Л-270 Л-271 Л-272 Л-273	Zn, Cu, Pb от 1,5 до 10 г/т, Ag – 0,15-3 г/т, As – 0-80 г/т
8	Уреч	В береговом обрыве, в 400 м к югу от Георгиевского монастыря	Кварцевые, карбонатные и сульфидные прожилки мощностью 1-5 см.	Кварцевые и карбонатные и сульфидные прожилки мощностью 1-5 см, протяженность 20-30 м, размах по вертикали – 5-10 м	Лавы брекчийской текстуры риолитового состава средней толщины	Осветление вокруг прожилков, окварцевание, гидрослюдизация и пиритизация	Отмстаются кварцевые прожилки, выполненные пиритом, сфалеритом, пиритом, галенитом	Л-254 Л-253 Л-253	255/1-255/3
9	Успех	В скважине на воду в интервале 70-130 м (СКВ. пробурена Гиннингом, 1993 г.)	Зона пропилитизации кварц-калинового состава мощностью 60 м	Зона метасоматитов под породами неогенового возраста	Метасоматиты предположительно по андезитам	Породы интенсивно окварцированы, каолинизированы и пиритизированы, с кварцевыми прожилками и сульфидной минерализацией меди	Опробование не проводилось	Л-254 Л-253 Л-253	Л-254

1	2	3	4	5	6	7	8	9	10
10	Милосердие	В скважине на воду в интервале 110-140 м зона окварцевания с кварцевыми прожилками мощностью 10-20 м (пробурена в 1996 г.)	Зоны спилитов окварцевания с кварцевыми прожилками мощностью 10-20 м липаритов	Лавы спилитов нижней толщи	Интенсивное осветление пород за счет окварцевания и гидрослюдизации	Сульфидная минерализация в кварцевых прожилках. Галенит, сфалерит, халькопирит, лигнит	Опробование не проводилось		
11	Бастион	В скважине на воду (1996 г.) в интервале 132-140 м зона кварцевых прожилков в кварц-гидрослюдистых метасоматитах	Зона кварцевого прожилкования	Лавы спилитов нижней толщи	Осветление натриевых базальтов, карбонат-кварцевые прожилки мощностью 4-25 мм	Содержание сульфида больше 1%, халькопирит, пирит, сфалерит	Л-252 Zn, Cu, Pb 400-120 г/т, Ag 1,5 г/т, As - 63 г/т		
12	Троллейбус	В скважине на воду в интервале 112-124 м зона кварцевого прожилкования с сульфидной минерализацией	Зона метасоматита по андезитам	Возможно окварцовывание и гидрослюдизация	Интенсивное окварцевание и гидрослюдизация	В кварцовых прожилках богатая сульфидная минерализация пирита, сфалерита, халькопирита			
13	Афганец	В скважине на воду (2007 г.)	Карбонат-кварцевая жила с сульфидами кварцовой жильй	Лавы спилитов нижней толщи	окварцовывание, гидрослюдизация, эпидотизироване породы	В кварцевой жиле богатая минерализация сфалерита, галенита, халькопирита и никрита	Л-54 Л-55		

лейсты, кристаллы плагиоклаза (вплоть до таблитчатых) и их скопления. Крупные плагиоклазы разбиты трещинками, залеченными вторичным кварцем. Плагиоклаз во всех случаях представлен слегка запыленным альбитом, тонкие лейсты расщеплены на концах.

Участки магматической породы переходят в зоны развития карбонатов — преимущественно кальцита, занимающие его поля (3-4 мм), в которых заключены островки той же магматической породы, удлиненные веретенообразные, иногда спиральные скопления вторичного кварца (до 2-3 мм) с перистым волнистым погасанием, псевдогексагональные, почти изотропные разрезы того же кварца размером 0,3-0,4 мм в попечнике. Особый интерес представляют крупные выделения (до 3 мм) белесого светло-зеленоватого сфалерита — низкотемпературного безжелезистого клейофана. В шлифе он имеет высокий рельеф, две системы спайности и похож на пироксен, но отличается изотропностью. Со сфалеритом, как правило, соседствует галенит. Сфалерит часто приурочен не только к кальциту, но и к другому карбонату с более высокими показателями преломления (выше канадского бальзама), ярче выраженным рельефом и слабой псевдоадсорбцией — не исключено, что это может быть карбонат цинка — смитсонит.

Подвергшиеся изменению магматические породы были расположены, вероятно, на контакте с осадочной, только как крупные участки (около 3 мм) заняты породой типа алевролита, отгороженной от других фрагментов частоколом новообразований кварца. Края алевролита неровные, с выполненными тем же, но более мелким кварцем заливами и трещинками с еще более мелким кварцем.

По данным исследований С.В.Пивоварова и др. [12], сульфидная минерализация в Гераклейскихrudопроявлениях (в частности на мысе Фиолент) проявляется в виде прожилков и вкрапленности, реже встречаются гнездовые вкрапления. В работе приведены сведения о минеральном составе, включающем пирит, галенит, халькопирит, марказит, борнит, ковеллин, церуссит, эпидот, диккит, халькозин, гессит, аргиродит, англезит. Описаны проявления кальцитизации, окварцевания, каолинизации, хлоритизации.

В аншлифах, при увеличениях 100-200 раз установлено самородное золото, которое встречается в виде зерен размером от тысячных до сотых долей миллиметра, иногда имеющее губчато-пластиначатый облик. Цвет золота — светло-желтый, кремовый. По составу соответствует электруму. Находится золото преимущественно в диккит-кварцевом жильном выполнении в ассоциации с халькопиритом, ковеллином и галенитом. Взаимоотношения золота с другими минералами проявлены очень нечетко. Химический анализ зерен золота не приведен.

Проведенные нами минералогические исследования позволили увеличить список минералов, слагающих руды, детально изучить состав главных рудообразующих минералов, обнаружить и изучить новый для Крыма минерал серебра — кюстелит.

В частности, во всех пробах были обнаружены пирит, халькопирит, сфалерит и галенит, ковеллин, англезит, а также гидроксиды железа (рис. 3, а, Г). Взаимоотношения халькопирита, галенита, сфалерита сложны, скорее всего они синхронны по времени выделения. Пирит, очевидно, образует несколько генераций выделения. Отчетливо наблюдаются включения электрума в зернах галенита и на контактах его со сфалеритом (рис. 4, В), развитие жилок и каемок ковеллина и англезита вокруг зерен сфалерита (рис. 5, Е), развитие каемок кюстелита вокруг электрума и его разъедание кюстелитом, разорванные жилки кюстелита в микрозонах катализа в англезите (рис. 5, Ж), каемки ковеллина и англезита вокруг галенита (рис. 3, Г).

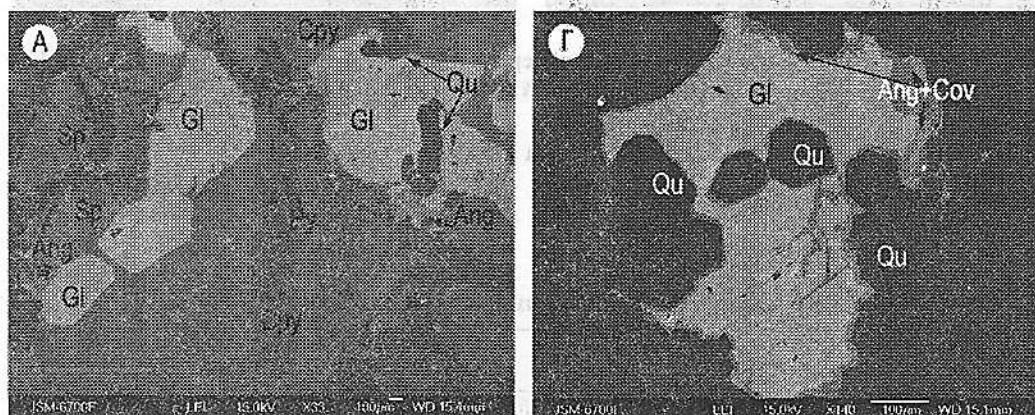


Рис. 3. (А, Г). Полиметаллическая минерализация в рудопроявлении м.Фиолент (обр. Л-43). Электронный зонд JXA-5. Аналитик И.Н.Бондаренко.

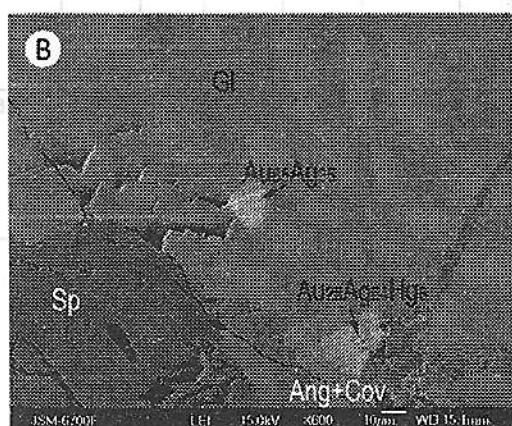
Примечание: Qu — кварц, Ang — англезит, Sp — сфалерит, G — галенит, Py — пирит, Спру — халькопирит, Cov — ковеллин.

Был изучен с помощью электронного микроскопа-микроанализатора JXA-5 (аналитик И.Н.Бондаренко) состав сульфидов. В пирите установлены: Ni от следов до 0,09%, Co от следов до 0,14%, Cu от 0,016 до 0,34%, Ag от 0,04 до 0,09%, As от 0,01 до 0,38 %, в одной точке — следы Sb и, надо полагать, механическая примесь P (до 0,43%) (табл. 2).

В составе халькопирита обнаружены Ni от следов до 0,07%, Co от следов до 0,069%, Ag от 0,026 до 0,137%. В одном случае присутствуют As (0,04%) и Sb (0,012%) (табл. 3).



Рис. 4. (В). Положение выделений низкопробного золота и кюстелита среди рудных минералов. Рудопроявление м.Фиолент (обр. Л-43). Электронный зонд JXA-5. Аналитик И.Н.Бондаренко.



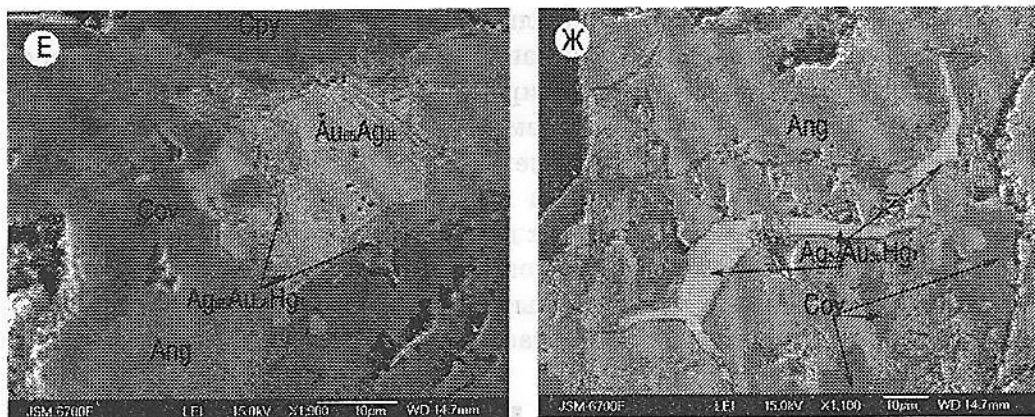


Рис. 5. (Е, Ж). Низкопробное золото и кюстелит среди рудных минералов м.Фиолент (обр. Л-43).  
Электронный зонд JXA-5. Аналитик И.Н.Бондаренко.

Зерна сфалерита содержат: Mn от 0,01 до 0,049%, Ag от 0,01 до 0,161%, Cd от 0,083 до 1,571%. В одной точке обнаружены следы In (табл. 4).

Табл. 2.

**Химический состав пирита из рудопроявлений в районе м.Фиолент**

№ п/п	Элемент № обр.	Fe	S	Ni	Co	Cu	Ag	As	Pb	Sb	Σ	Формула
1	Л-41-1	46,128	52,719	0,01	0,021	0,045	0,091	0,382	0,431	сл.	99,893	Fe <sub>1,001</sub> Co <sub>0,0004</sub> As <sub>0,006</sub> S <sub>1,992</sub>
2	Л-42-2	46,497	53,196	сл.	0,012	-	0,04	0,211	-	-	99,955	Fe <sub>1,001</sub> As <sub>0,003</sub> S <sub>1,995</sub>
3	Л-43-1	46,73	53,56	0,12	-	0,34	0,05	0,01	-	-	100,81	Fe <sub>1,005</sub> Ni <sub>0,0024</sub> S <sub>1,9971</sub>
4	Л-45-5	46,49	53,371	сл.	сл.	-	-	0,077	-	-	99,848	Fe <sub>1,001</sub> As <sub>0,001</sub> S <sub>1,998</sub>
5	Л-46-1	46,291	53,341	0,062	0,031	0,147	0,006	0,057	-	-	99,924	Fe <sub>0,997</sub> Ni <sub>0,001</sub> Co <sub>0,0006</sub> S <sub>2,00</sub>
6	Л48-1	46,877	53,344	0,091	0,136	0,016	0,069	0,127	-	-	99,658	Fe <sub>1,004</sub> Ni <sub>0,002</sub> Co <sub>0,003</sub> As <sub>0,002</sub> S <sub>1,989</sub>

Табл. 3

## Химический состав халькопирита из рудопроявлений в районе м.Фиолент

№ п/п	Элемент № обр.	Cu	Fe	S	Ni	Co	Ag	As	Au	Sb	Σ	Формула
1	Л-41-1	34,56	30,501	36,158	-	сл.	0,074	-	-	0,012	99,789	$\text{Cu}_{0,970}$ $\text{Fe}_{0,988}$ $\text{S}_{2,042}$
2	Л-42-3	34,497	30,896	34,896	0,03	сл.	0,06	-	-	-	99,971	$\text{Cu}_{0,997}$ $\text{Fe}_{1,002}$ $\text{S}_{2,001}$
3	Л-43-2	33,59	31,04	35,12	0,07	0,01	0,05	-	-	-	99,88	$\text{Cu}_{0,968}$ $\text{Fe}_{1,019}$ $\text{S}_{2,010}$
4	Л-45-2	34,781	30,258	34,626	-	сл	0,026	0,04	-	-	99,731	$\text{Cu}_{1,009}$ $\text{Fe}_{0,999}$ $\text{S}_{1,993}$
5	Л-46-2	33,593	31,416	34,739	0,036	0,027	0,137	-	-	-	99,948	$\text{Cu}_{0,971}$ $\text{Fe}_{1,034}$ $\text{S}_{1,994}$
6	Л-47-1	34,382	30,622	34,76	0,026	0,063	0,07	-	-	-	99,913	$\text{Cu}_{0,995}$ $\text{Fe}_{1,009}$ $\text{S}_{1,996}$
7	Л-48-2	33,654	31,745	34,238	сл.	-	0,055	-	-	-	99,744	$\text{Cu}_{0,977}$ $\text{Fe}_{1,049}$ $\text{S}_{1,973}$

Табл. 4

## Химический состав сфалерита из рудопроявлений в районе м.Фиолент

№ п/п	Элемент № обр.	Zn	S	Fe	Mn	Ag	Cd	In	Σ	Формула
1	Л-41-3	62,389	32,336	4,407	0,016	0,161	0,083	сл.	99,401	$\text{Zn}_{0,933}$ $\text{Fe}_{0,077}$ $\text{Mn}_{0,00}$ $\text{Cd}_{0,001}$ $\text{S}_{0,989}$
2	Л-43-1	67,92	32,27	-	-	0,01	-	-	100,20	$\text{Zn}_{1,015}$ $\text{S}_{0,985}$
3	Л-45-3	64,271	32,987	0,617	0,023	0,056	1,562	-	99,516	$\text{Zn}_{0,964}$ $\text{Fe}_{0,011}$ $\text{Mn}_{0,00}$ $\text{Cd}_{0,014}$ $\text{S}_{1,011}$
4	Л-45-4	64,403	32,901	0,617	0,015	0,046	1,571	-	99,553	$\text{Zn}_{0,966}$ $\text{Fe}_{0,011}$ $\text{Mn}_{0,00}$ $\text{Cd}_{0,014}$ $\text{S}_{1,009}$
5	Л-46-1	64,786	32,921	0,617	0,048	0,072	0,709	-	99,868	$\text{Zn}_{0,966}$ $\text{Fe}_{0,023}$ $\text{Mn}_{0,004}$ $\text{Cd}_{0,006}$ $\text{S}_{1,00}$
6	Л-47-2	64,598	32,658	1,333	0,01	0,061	0,67	-	99,548	$\text{Zn}_{0,967}$ $\text{Fe}_{0,027}$ $\text{Mn}_{0,00}$ $\text{Cd}_{0,006}$ $\text{S}_{0,999}$
7	Л-48-3	64,848	32,834	1,561	0,049	-	0,732	-	99,906	$\text{Zn}_{0,967}$ $\text{Fe}_{0,025}$ $\text{Mn}_{0,002}$ $\text{Cd}_{0,006}$ $\text{S}_{1,00}$

Табл. 5

## Химический состав галенита из рудопроявлений в районе м.Фиолент

№ п/п	Элемент № обр.	Pb	S	Bi	Au	Ag	Pt	Pd	Fe	Cu	Zn	Σ	Фор- мула
1	Л-41-4	86,083	13,103	-	-	0,178	-	-	-	-	-	99,363	Pb <sub>1,005</sub> Ag <sub>0,004</sub> S <sub>0,991</sub>
2	Л-42-4	77,568	9,911	-	-	0,067	-	-	0,204	2,593	0,036	90,368	Pb <sub>1,095</sub> S <sub>0,905</sub>
3	Л-42-6	86,517	13,343	-	0,01	0,047	-	-	-	-	-	99,917	Pb <sub>1,001</sub> S <sub>0,999</sub>
4	Л-43-1	86,04	13,31	-	-	0,01	-	-	-	-	-	99,36	Pb <sub>0,999</sub> S <sub>1,001</sub>
5	Л-45-1	86,552	13,174	-	сл.	0,078	-	-	-	-	-	99,85	Pb <sub>1,007</sub> S <sub>0,993</sub>
6	Л-46-1	86,289	13,423	-	-	0,087	-	-	-	-	-	99,798	Pb <sub>0,997</sub> S <sub>1,003</sub>
7	Л-47-3	86,309	13,236	-	-	0,16	-	-	-	-	-	99,703	Pb <sub>1,001</sub> Ag <sub>0,004</sub> S <sub>0,995</sub>
8	Л-48-4	86,60	13,242	-	-	0,073	-	-	-	-	-	99,883	Pb <sub>1,009</sub> S <sub>0,991</sub>

В составе галенита присутствуют: Au — от следов до 0,01%, Ag — от 0,01 до 0,178%. При одном замере определены: Fe (0,204%), Cu (2,593%), Zn (0,036%) (табл. 5).

В районе Балаклавы (обр. Л-62) отобраны образцы, которые представляют собой сростки кварца с плотными агрегатами тонких игольчатых кристаллов свинцово-серого цвета.

Спектральный анализ тонкоигольчатого агрегата выявил основные его элементы: Pb и Sb — более 1%. Другие элементы: As 0,4%, Mn, Ti, Cu, Ag, Zn сотые доли процента, Ni, V, Cr, Cr, Nb, Bi, Sc, Cd тысячные и десятитысячные доли процента (анализ выполнен в спектральной лаборатории ИГМР НАН Украины. Аналитик А.А. Таращан).

Исследование аншилифа на микроанализаторе YXA-5 (аналитик И.Н. Бондаренко) позволило идентифицировать образец как буланжерит (табл. 6). Измерения в нескольких точках показали близость состава буланжерита к теоретическому (Pb — 58,9%, Sb — 22,8%, S — 18,3% [8]).

Табл. 6

## Химический состав буланжерита, вес. %.

№ п/п	Pb	Fe	Ag	Cu	Bi	Hg	Pt	Au	S	Sb	Σ
1	55,76	0,00	0,00	0,02	0,00	0,00	0,00	0,00	18,46	24,91	99,15
2	55,12	0,02	0,00	0,00	0,00	0,01	0,00	0,00	18,67	24,65	98,47
3	54,58	0,01	0,01	0,01	0,00	0,00	0,00	0,00	18,70	58,04	98,35
4	56,02	0,00	0,00	0,00	0,00	0,00	0,00	0,00	18,98	24,42	99,42
5	54,39	0,03	0,00	0,01	0,01	0,01	0,00	0,00	18,23	25,53	98,21

Примечание: Анализы 1-3 — крупное зерно (край — центр — край), 4, 5 — мелкие призматические кристаллы в кварце. Обр. Л-62. Анализы выполнены на приборе YXA-5. Аналитик И.Н.Бондаренко.

На микроанализаторе JSM-606La (аналитик Д.П.Деменко) были получены снимки поверхности агрегата буланжерита (рис. 6).

Табл. 7

## Результаты химического анализа золото-серебряных минералов в аншлифах

№ п/п	Элемент	Au	Ag	Cu	Bi	Hg	Pt	Pd	$\Sigma$	Примечание
1		28,31	63,23	0,33	—	7,95	—	—	99,82	*
2		26,67	65,24	—	—	8,00	—	—	100,0	**
3		32,61	55,02	—	—	6,44	—	—	94,07	*
4		36,56	56,19	—	—	7,23	—	—	99,98	**
5		30,16	60,25	—	—	—	—	—	90,41	**
6		32,24	58,87	—	—	—	—	—	91,11	**
7		33,69	59,73	—	—	—	—	—	90,42	**
8		62,01	37,99	—	—	—	—	—	100,0	**
9		62,38	36,17	—	—	—	—	—	98,55	*
10		63,54	34,41	—	—	—	—	—	97,95	*
11		64,07	32,55	—	—	—	—	—	97,02	*
12		64,46	33,57	0,08	—	—	—	—	98,11	*
13		67,43	31,80	—	—	0,03	—	—	99,26	**
14		68,78	30,73	—	—	0,0	—	—	99,51	*

Примечание: п/п 1-4 кюстеллит, п/п 5-7 — электрум, п/п — 8-14 — низкопробнос золото.

Анализы выполнены в лаборатории рентгеноспектрального анализа ИГМР НАН Украины на приборе YXA-5 (обр. \*), JSM-6700F (обр. \*\*). Аналитик И.Н.Бондаренко.

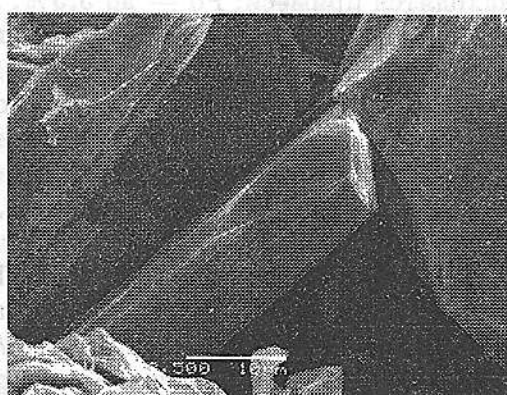
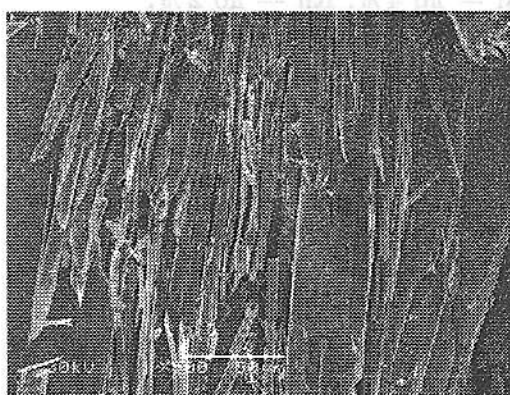


Рис. 6. Фрагменты поверхности буланжерита. На снимках видны характерные для буланжерита игольчатые, призматического вида кристаллы (часто несовершенные).

Выполненный по нашей просьбе С.Е.Поповченко (Национальный Горный университет, г.Днепропетровск) полуколичественный квантometрический экспресс-анализ шлихов пирита из пляжевых отложений в районе м.Фиолент (проба 1010/30) показал следующие результаты: содержание золота от 1,566 до 1,980 г/т; серебра — от 11,119 до 12,094 г/т; платины — от 0,0148 до 0,0153 г/т; палладия от 0,0189 до 0,0280 г/т.

Что касается определения платиноидов, то данные, полученные этим методом, являются геологической информацией, о чем свидетельствуют сопоставления этих результатов с данными пробирных лабораторий ЦЛ КП “Кировгеология” и Канады. Для этого метода характерно завы-

шение содержаний платины в десятки и сотни раз в абсолютном большинстве проб [11].

По результатам химического анализа золота в аншлифах (табл. 7) видно, что во всех точках замера обнаруживается повышенное содержание серебра. По В.И.Вернадскому [5] разности золота, богатые серебром, представляют собой редкие формы самородного золота. Он считает необходимым выделить серебристое золото в отдельный минерал — электрум, несмотря на то, что между ним и золотом наблюдается химически непрерывный переход.

В одном из аншлифов (Л-43, Аметистовое рудопроявление) установлены зерна и прожилки электрума, содержащего от 7 до 8% Hg. Такое золотистое серебро или серебристое золото называется кюстелитом [15]. Минерал назван по месту находки — месторождение Кюстелен, штат Невада (США). По другим источникам [8], название свое кюстелит получил в честь Г.Кюстеля (G.Küstel).

Кюстелит, содержащий до 5% Hg (консбергит) установлен в месторождении Консберг (Норвегия), содержащий 13 Hg (аркверит) найден в месторождении Аркверос (Чили), содержащий до 30,7% Hg (бордозит) найден в Чили в руднике Бордозо.

И.К.Латыш [9] о кюстелите пишет, что он содержит до 10% и выше Au, которое присутствует в виде твердого раствора. В кюстелите иногда находятся примеси: Pd — до 5,5%, Bi — до 4%, Rh — до 2%.

Изученные нами образцы характеризуются содержанием серебра от 30,75 до 65,24%, золота от 26,67 до 68,74%, ртути от 6,99 до 8,0%. Иными словами, он ближе всего соответствует консбергиту, хотя и не вполне совпадает с ним по содержанию ртути — оно несколько выше. Примесей платиноидов в гераклейском кюстелите не обнаружено.

При визуальном изучении руд, кроме хорошо видимых сульфидов, кварца, бесцветного кальцита, местами фиксируются красивые бирюзового цвета прожилки или агрегаты. Рентгеновское изучение этих бирюзовых агрегатов, выполненное В.С.Мельниковым в лаборатории кристаллохимии и структурного анализа ИГМР НАН Украины на дифрактометре ДРОН-2, позволило установить присутствие кальцита, гемиморфита ( $Zn_4Si_2O_7(OH)_2H_2O$ ), смитсонита, флогопита, а также филлипсита. Спектральным анализом в бирюзовых агрегатах найдены более 1% Mn, до 0,05% — Cu, Zn, Pb, 0,01% — Y, Cd, 0,001% — Yb, Ni, 0,002% — La, Ti, 0,003% — Sc, тысячные доли Co, Cr.

В целом проведенное исследование вещественного состава рудных проявлений Гераклейского плато дало возможность определить в их составе ранее неизвестные здесь кюстелит, буланжерит, гемиморфит, филлипсит, флогопит.

Судя по минеральному составу рудопроявлений, это средне- и низкотемпературные гидротермальные образования. Возраст жильных новообразований — скорее всего верхнемеловой.

Можно согласиться с отнесением их к доинверсионному вулканогенному гидротермально-метасоматическому типу субвулканического уровня, связанного с завершением островодужного вулканизма [19].

## Основные выводы

1. Выявленные гидротермальные проявления полиметаллической минерализации интересны минералогически и свидетельствуют о потенциальной рудоносности района.
2. В ходе проведенных исследований обнаружен ряд новых для района рудных и нерудных минералов, в частности, кюстелит, электрум, буланжерит, гемиморфит, смисонит, филлипсит и др. Детально изучен химизм важнейших рудных минералов — пирита, халькопирита, галенита, сфалерита и др.
3. Генетически изученные проявления представляют собой средне- и низкотемпературные гидротермальные образования.
4. Результаты исследования проявлений рудной минерализации Гераклейской тектоно-вулканической структуры показывают необходимость их дальнейшего изучения — выявление закономерностей их размещения, возможной связи с очагами вулканизма и разломной тектоники.

1. Архипов И.В., Гайнанов А.Г., Гончаров В.П. и др. Глубинное строение Черноморской впадины к югу от берегов Крыма по данным геологических и геофизических исследований. / Бюл. МОИП, отд. геол., 1970. — Т. XLV. — Вып. 2. — С. 81-102.
2. Архипов И.В., Терехов А.А. Развитие представлений о геологической природе и возрасте Черного моря / Строение и эволюция земной коры и верхней мантии Черного моря. — М.: Наука, 1989. — С. 6-9.
3. Борисенко Л.С. Разрывные нарушения Горного Крыма // Геол. журн. 1983. — Т. 43. — № 2. — С. 126-129.
4. Борисенко Л.С., Тихоненкова Е.Г., Полтораков С.В. и др. Полиметаллические проявления и перспективы обнаружения полиметаллических руд в Крыму // Геол. журн. — 1981. — № 1. — С. 12-18.
5. Вернадский В.И. Избранные сочинения (Твердые и жидкие самородные элементы). М.: Изд-во АН СССР, 1955. — Т 2. — С.125-242.
6. Давыдов П. Очерки Крыма (полезные ископаемые). Приложение к Южно-русск. горн.-зав. листку, 1881.
7. Двойченко П.А. Минералы Крыма. Краткий очерк с обзором литературы под редакцией со вступительной статьей и дополнениями А.Е.Ферсмана. — Симферополь: Зап. Крымского ОЕ, 1914. — Т. 4. — 208 с.
8. Лазаренко Є.К., Винар О.М. Мінералогічний словник. — К.: Наук. думка, 1975. — 772 с.
9. Латыш И.К. Серебро в природе (геохимия и минералогия). К.: Изд-во "АртЭк", 1997. — 184 с.
10. Минералы. Справочник. М.: Изд-во АН СССР, 1960. — Т. 1. — С. 31-32.
11. Мінерально-сировинна база благородних металів України: стан геологорозв'їдувальних робіт на метали платинової групи та їх аналітичного забезпечення // Мат-ли міжвідомчої робочої наради, 22-24 листопада 2004 р. м.Київ. — К.: УкрДГРІ, 2005. — 141с.
12. Пивоваров С.В., Чайковский В.П., Чуба Б.С. и др. Отчет по глубинному геологическому картированию масштаба 1:50000 западной части Горного Крыма (Гераклейское плато) за 1982-1984 гг. Т.2 (текст), 1984. — С. 53-110.
13. Попов С.П. О некоторых сульфатах из окрестностей Георгиевского монастыря в Крыму. — Изв. Имп. АН, СПб, 1913. — № 5. — С. 253-256.

14. Шаталов А.Н. Современные процессы в юго-западной части Крыма // ДНАН Украины, — 1999. — № 10. — С. 125-128.
15. Шаталов А.Н., Борисенко Л.С., Пивоваров С.В и др. Дайки Гераклейской вулкано-тектонической структуры Крыма // ДАН УССР. — Сер. Б. — 1990. — № 9. — С. 19-23.
16. Шнюков Е.Ф., Щербаков И.Б., Шнюкова Е.Е. Палеостровная дуга севера Черного моря. — К., 1997. — 287 с.
17. Шнюкова Е.Е. Магматические породы мыса Фиолент (юго-западный Крым) // Материалы международного (Х всероссийского) петрографического совещания "Петрография XXI века". Том 2 (г. Апатиты, 20-22 июня 2005 г.). — Кольский научный центр РАН, Геологический институт. — С.289-291.
18. Юдин В.В. Предгорная структура Крыма // Геол. журн. — 1995. — № 4. — С. 115-119.
19. Ященко Н.Я., Артеменко В.М., Шехоткин В.В. Золотоносність Криму, перспективні формацийно-генетичні типи // Мін. ресурси України. — 1997. — № 4. — С. 12-14.

Вивчено золото-срібну та сульфідну мінералізацію деяких рудопроявень Гераклійського плато (південно-західний Гірський Крим). Виявлено низку нових для району мінералів і детально вивчено їх хімізм. Досліджені рудопрояви являють собою середньо- та низькотемпературні утворення.

Gold-silver and sulfide mineralization of some ore occurrences in the Geraclean plateau (South-western Crimea) is studied. A number of new for this region minerals is revealed; their chemical properties are studied in details. Ore occurrences under investigation represent middle- and low-temperature formations.